

## 穹窿主体蛋白对血管平滑肌细胞增殖的影响

童 星,江 斌,柏 惠,陈 琪\*

(南京医科大学病理生理学系,江苏 南京 211166)

**[摘要]** 目的:探讨穹窿主体蛋白(major vault protein, MVP)对血管平滑肌细胞(vascular smooth muscle cells, VSMCs)增殖的影响。方法:分离培养野生型小鼠 VSMCs,用血小板源性生长因子(PDGF-BB)或 15% 胎牛血清(FBS)刺激 VSMCs 增殖,Western blot 检测 VSMCs 的 MVP 表达水平,同时检测特异性分化标记物  $\alpha$ -SMA 和 SM22 $\alpha$  表达水平。然后用 PDGF-BB 刺激人主动脉平滑肌细胞(HAoSMCs),检测 MVP 的表达差异。再分别分离培养野生型小鼠和 MVP 敲除型小鼠的 VSMCs,通过 CCK8 细胞增殖实验检测两者的增殖能力;同时用 siRNA 干扰的方法,使 HAoSMCs 中 MVP 低表达,检测其增殖能力的变化。结果:用 PDGF-BB 或 15% FBS 刺激 VSMCs 后,MVP 表达水平呈浓度和时间依赖性下降, $\alpha$ -SMA 和 SM22 $\alpha$  表达水平也相应降低。MVP 缺失或低表达情况下,VSMCs 的增殖能力均下降。结论:MVP 在 VSMCs 增殖中起了重要作用。

**[关键词]** 穹窿主体蛋白;小鼠主动脉平滑肌细胞;人主动脉平滑肌细胞;增殖

**[中图分类号]** R329.26

**[文献标志码]** A

**[文章编号]** 1007-4368(2016)05-539-05

**doi:**10.7655/NYDXBNS20160506

## Effects of major vault protein on the proliferation of vascular smooth muscle cells

Tong Xing, Jiang Bin, Bai Hui, Chen Qi\*

(Department of Pathophysiology, NJMU, Nanjing 211166, China)

**[Abstract]** **Objective:** To investigate the effects of major vault protein (MVP) on the proliferation of vascular smooth muscle cells (VSMCs). **Methods:** The wild-type mouse VSMCs were isolated, and cultured, and the human aortic smooth muscle cells (HAoSMCs) were used. Western blot analysis was used to determine the MVP,  $\alpha$ -SMA and SM22 $\alpha$ . Expression of MVP stimulated by platelet-derived growth factor (PDGF-BB) or 15% fetal bovine serum (FBS) was measured. MVP siRNA was used to downregulate the MVP expression in HAoSMCs. Cell proliferation CCK-8 assay was conducted to detect the proliferation ability of VSMCs in the case of MVP deficiency or downregulation. **Results:** After the treatment of PDGF-BB or 15% FBS, the MVP expression of VSMCs was downregulated in a time-dependent and dose-dependent manner. Compared with wild-type mouse VSMCs, the proliferation of MVP in knockout mouse VSMCs was suppressed. MVP siRNAs inhibited FBS-induced HAoSMCs proliferation. **Conclusion:** MVP may played crucial effects in the proliferation of the VSMCs.

**[Key words]** major vault protein; primary mouse aortic vascular smooth muscle cells; human aortic smooth muscle cells; proliferation

[Acta Univ Med Nanjing, 2016, 36(05): 539-543]

血管平滑肌细胞(vascular smooth muscle cells, VSMCs)存在于血管内膜内皮细胞下的中膜层,是构成血管壁的重要组成部分。当血管内皮损伤时,局部释放细胞因子和生长因子,刺激 VSMCs 从中膜层迁移至内膜层并大量增殖来参与损伤修复。当这种修复作用过度时,将引起 VSMCs 异常增殖,从而导

致血管腔狭窄<sup>[1]</sup>。

穹窿主体蛋白(major vault protein, MVP),也称为肺耐药相关蛋白(lung resistance-related protein, LRP),是穹窿体的主要成分,其最早作为肿瘤多药耐药相关蛋白被 Scheffer 等<sup>[2]</sup>发现。穹窿体是一种重要的细胞器,广泛存在于从黏菌直至人的多个物种中,在真核生物中高度保守,说明其在细胞生理过程中起重要作用<sup>[3]</sup>。近年来很多研究表明,MVP 是一个重要的信号通路调节蛋白,可通过调节细胞内人第 10 号染色体缺失的磷酸酶及张力蛋白同源

**[基金项目]** 国家自然科学基金重点项目(81230070);973 项目(2012CB517503)

\*通信作者(Corresponding author),E-mail:qichen@njmu.edu.cn

基因 (phosphatase and tensin homolog deleted on chromosome ten, PTEN) 蛋白的分布来调节 PI3K-AKT 信号通路<sup>[4]</sup>, 以及影响 MAPK 磷酸化水平, 从而参与细胞周期的调控<sup>[5]</sup>。Daniela 等<sup>[6]</sup>发现 MVP 可通过上调 EGFR/PI3K 信号通路促进脑胶质瘤细胞的生长和迁移能力。最近 Das 等<sup>[7]</sup>报道 MVP 通过氧化修饰来调节人类气道平滑肌细胞的生长和存活。然而, 目前尚未见文献报道 MVP 在 VSMCs 增殖中的作用。本实验选用小鼠原代 VSMCs 和人 HAoSMCs 系, 检测 MVP 在这两种 VSMCs 增殖时的表达差异, 以及 MVP 在 VSMCs 增殖过程中所起的作用。再通过检测在 MVP 缺失或低表达的情况下, VSMCs 增殖能力的改变, 进一步验证 MVP 对 VSMCs 增殖的影响。

## 1 材料和方法

### 1.1 材料

Lipofectamine™ RNAi MAX (Invitrogen 公司, 美国), HAoSMCs (ATCC 公司, 美国), PDGF-BB (Sigma-Aldrich 公司, 美国), FBS (Gibco 公司, 美国), DMEM/F12 培养基 (HyClone 公司, 美国), 胰蛋白酶、青霉素、链霉素 (Gibco 公司, 美国), LRP 抗体 (Santa Cruz Biotechnology 公司, 美国),  $\alpha$ -SMA 抗体、SM22 $\alpha$  抗体 (Abcam 公司, 美国), GAPDH 抗体 (Sigma-Aldrich 公司, 美国), HRP 标记的羊抗小鼠、羊抗兔和兔抗羊 IgG (生兴生物公司, 中国), CCK8 Cell Counting Kit (南京诺唯赞生物科技有限公司), BCA 蛋白定量试剂盒 (Pierce 公司, 美国), 预染标准蛋白质 Marker (Fermantas 公司, 美国), 蛋白电泳系统 (BIO-RAD 公司, 美国)。

MVP 基因敲除型小鼠 (MVP<sup>-/-</sup>) 由荷兰 Erasmus 大学 Erik A.C. Wiemer 教授实验室提供, 实验采用 6 周龄雄性 MVP<sup>-/-</sup> 小鼠, 同周龄、性别的 C57BL/6J 小鼠作为野生型对照。两种小鼠都由南京医科大学医药实验动物中心饲养, 所有实验操作符合 Guide for the Care and Use of Laboratory Animals (NIH 颁布, No 85~23) 要求, 获得南京医科大学动物保护委员会批准。

### 1.2 方法

#### 1.2.1 分离及培养小鼠 VSMCs

选择 6 周龄雄性小鼠, 戊巴比妥钠麻醉小鼠, 在无菌条件下取出小鼠胸主动脉血管, 剥离周围结缔组织, 置于盛有 PBS 的平皿, 用无菌刀片刮除内膜面, 取出中膜层转移至盛有 FBS 的培养基中, 切成 1 cm  $\times$  1 cm 大小的组织块, 用已消过毒的玻璃片盖上, 置于 37 $^{\circ}$ C 5%CO<sub>2</sub> 孵箱, 7 d 后长满, 传代, 用

第 3~6 代细胞做实验。

#### 1.2.2 siRNA 转染 HAoSMCs

将 HAoSMCs 种于 6 孔板中, 采用脂质体法 (Lipofectamine™ RNAiMAX) 进行转染。将 2 种 siRNA 各 6  $\mu$ L 与等容积的脂质体分别溶于 100  $\mu$ L opti-MEM 培养基中, 并在 5 min 内将以上 2 种液体轻轻混匀, 室温下静置。在 6 孔板每孔中加入无血清的 DMEM/F12 培养液 800  $\mu$ L, 再将以上 siRNA 和脂质体混合物 200  $\mu$ L 滴加至每孔中, 轻轻摇匀。将细胞置于标准培养条件下, 6~8 h 后更换新鲜正常培养基继续培养。

针对人类 MVP 基因的 2 对 siRNA 及阴性对照 siRNA (siRNA-N), 均由上海吉玛制药公司设计合成。其核苷酸序列见表 1。

表 1 MVP siRNA 核苷酸序列

Table 1 Nucleotide sequence of siRNA for MVP gene	
siRNA	序列 (5'→3')
siRNA-MVP1	CCUACAUGCUGACCCAGGATT(sense)
	UCCUGGGUCAGCAUGUAGGTG(anti-sense)
siRNA-MVP2	CGACUACCGAGAGAAGCGATT(sense)
	UCGCUUCUCUGGUAGUCGTA(anti-sense)

#### 1.2.3 Western blot

提取 VSMCs 蛋白, 用 PBS 洗 2 遍, 置于冰上, 加入适量含磷酸酶抑制剂的裂解液, 30 min 后离心, 取上清, 用 BCA 法测定蛋白浓度, 分装蛋白, 每管 20  $\mu$ g。配置聚丙烯酰胺凝胶 (SDS-PAGE), 取 20  $\mu$ g 上述制备所得蛋白上样, 电泳分离 1~2 h, 湿转法转膜 2 h, 将蛋白转至 PVDF 膜上。将膜置入含 2.5% BSA 的 TBS-T 中室温封闭 2 h, 一抗孵育, 4 $^{\circ}$ C 过夜, 第 2 天, 用 TBS-T 漂洗 3 次后, 每次 10 min, 二抗室温孵育 2 h, 再用 TBS-T 漂洗 6 次, 每次 10 min, 用 ECL 显影液显影成像, 并保存记录, 用 Image J 软件分析目的条带光密度值。

#### 1.2.4 CCK8 检测细胞增殖

在 96 孔板中接种细胞悬液 (100  $\mu$ L/孔), 每孔 2 000 个细胞。将培养板放在培养箱 (37 $^{\circ}$ C、5% CO<sub>2</sub>), 第 2 天将培养基换成含 0.5% FBS 的培养基, 饥饿细胞以同步 48 h, 再换上含 PDGF-BB 或 15% FBS 的培养基进行刺激, 分别在刺激前, 以及刺激后 2、4、6、8 d 用 CCK8 试剂盒检测, 向每孔中加入 10  $\mu$ L CCK8 溶液。将培养板在培养箱中孵育 2 h, 用酶标仪测定 450 nm 处的吸光度值。

### 1.3 统计学方法

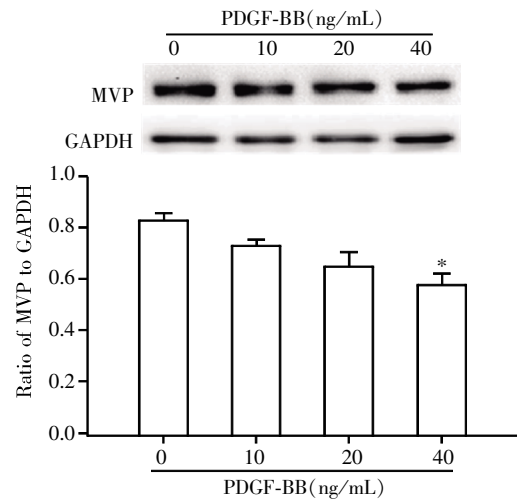
数值以均值  $\pm$  标准误 ( $\bar{x} \pm s_x$ ) 表示, 数据分析用

Graphpad Prism 5 统计软件进行处理,两组间比较采用  $t$  检验,多组间比较采用单因素方差分析, $P \leq 0.05$  为差异有统计学意义。

## 2 结 果

2.1 VSMCs 上的 MVP 表达水平随细胞增殖而下降  
为研究小鼠 VSMCs 在增殖状态下 MVP 表达水平的改变,首先分离 C57BL/6J 小鼠的 VSMCs(VSMC WT),用不同浓度 (0、10、20、40 ng/mL) 的 PDGF-BB 加以刺激使其增殖,检测发现 MVP 的表达水平呈下降趋势,且呈浓度依赖性(图 1)。接着用 40 ng/mL 的 PDGF-BB 刺激小鼠 VSMCs,分别刺激 0、24、48、72 h,检测发现 MVP 的表达水平呈时间依赖性下降。同时,又检测了 VSMCs 的特异性分化标记物  $\alpha$ -SMA 和 SM22 $\alpha$  表达水平,结果显示在 PDGF-BB 的作用下,VSMCs 处于增殖状态,由原来的分化状态向去分化状态转变,其分化标志物表达水平下降(图 2)。

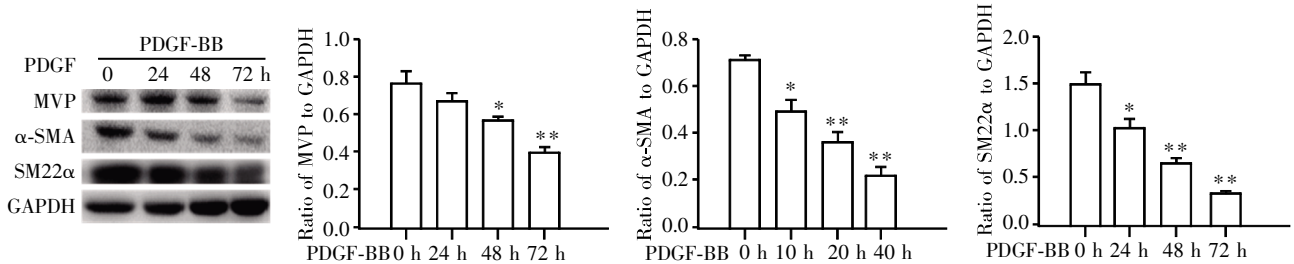
除了 PDGF-BB 可以诱导 VSMCs 向去分化方向转化,使其增殖能力增加以外,很多文献报道



与对照组比较,\* $P < 0.05$  ( $n=3$ )。  
图 1 不同浓度 PDGF-BB 刺激 VSMC WT 后 MVP 的表达水平

Figure 1 The relative expression of MVP after stimulation of PDGF-BB with different doses.

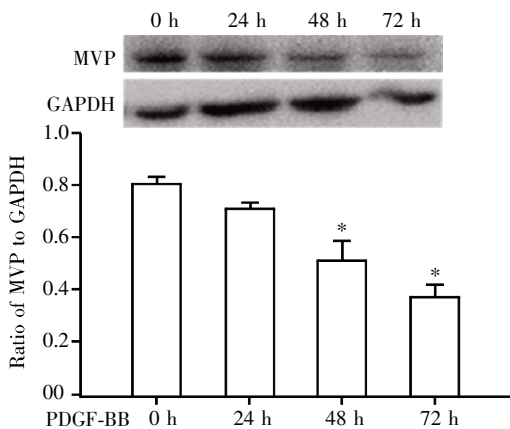
15% FBS 也具有类似作用,为进一步验证以上结果,又用 15% FBS 刺激小鼠 VSMCs,检测结果发现 MVP 的表达水平也呈明显下降(图 3)。



与对照组比较,\* $P < 0.05$ ,\*\* $P < 0.01$  ( $n=3$ )。

图 2 PDGF-BB 刺激 VSMC WT 不同时间后 MVP, $\alpha$ -SMA 和 SM22 $\alpha$  的表达水平

Figure 2 The relative expression of MVP, $\alpha$ -SMA and SM22 $\alpha$  after stimulation of PDGF-BB for different time.



与对照组比较,\* $P < 0.01$  ( $n=3$ )。

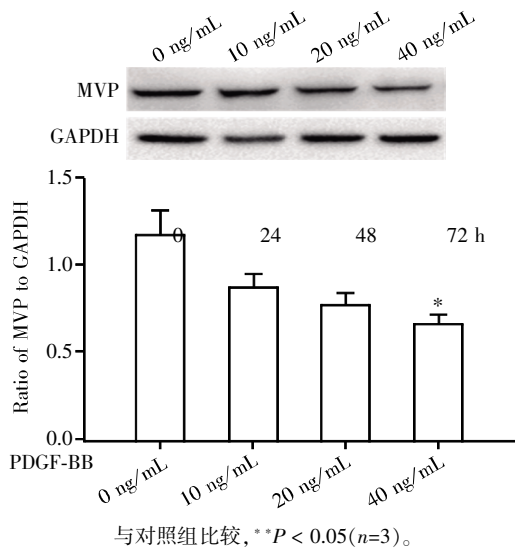
图 3 15%FBS 刺激 VSMC WT 不同时间后 MVP 的表达水平  
Figure 3 The relative expression of MVP after stimulation of 15%FBS for different time.

为了进一步验证 MVP 在人 VSMCs 增殖时的表达差异,又选用 HAoSMCs,用 PDGF-BB 加以刺激,结果发现 MVP 的表达也是明显下降的。以上结果均提示 MVP 与 VSMCs 的增殖有关(图 4)。

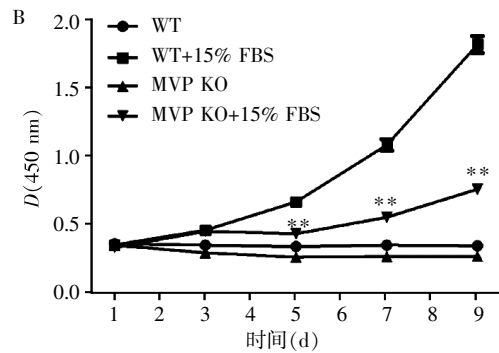
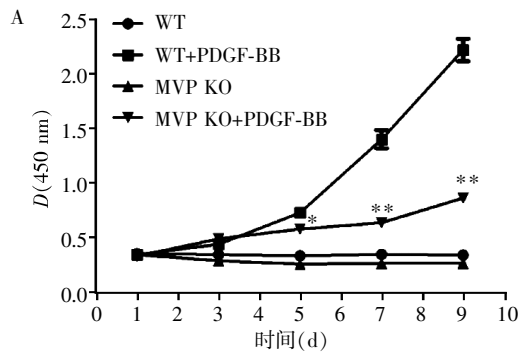
### 2.2 MVP 基因的缺失可以抑制 VSMCs 增殖

为了进一步确认 MVP 对小鼠 VSMCs 增殖的作用,分别分离培养野生型小鼠 VSMCs(WT)和 MVP<sup>-/-</sup>小鼠 VSMCs(MVP KO),同步处理后,用 CCK8 实验方法比较两者的增殖能力。结果显示,无论是 PDGF-BB 处理还是 15% FBS 处理,MVP 基因敲除后,VSMC 增殖能力均下降(图 5)。

同样,也在 HAoSMCs 上进行验证,首先用 siRNAs 干扰 MVP 的表达,通过 Western blot 检测发现,其干扰效率在 65%左右(图 6)。再用 CCK8

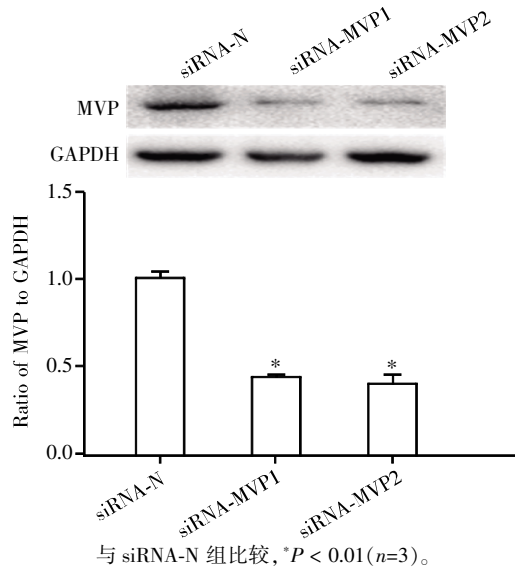


与对照组比较, \*\* $P < 0.05$  ( $n=3$ )。  
**图 4 不同浓度 PDGF-BB 刺激 HAoSMCs 后 MVP 的表达水平**  
**Figure 4 The relative expression of MVP after stimulation of PDGF-BB with different doses**

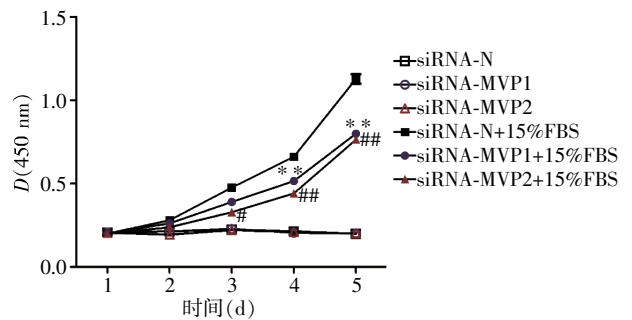


A: PDGF-BB 刺激 VSMCs; B: 15% FBS 刺激 VSMCs。MVP KO 与 WT 相比较, MVP KO+PDGF-BB 与 WT +PDGF-BB 相比较, \* $P < 0.05$  ( $n=5$ ), \*\* $P < 0.01$  ( $n=5$ )。

**图 5 MVP 对小鼠原代 VSMCs 增殖的影响**  
**Figure 5 The effect of MVP on the proliferation of mouse VSMCs**



与 siRNA-N 组比较, \* $P < 0.01$  ( $n=3$ )。  
**图 6 MVP siRNAs 抑制 HAoSMCs 中 MVP 的表达**  
**Figure 6 MVP siRNAs inhibit the expression of MVP in HAoSMCs**



与对照组比较, \*\* $P < 0.01$ , \* $P < 0.05$ , ### $P < 0.01$  ( $n=6$ )。

**图 7 MVP 对 HAoSMCs 增殖的影响**  
**Figure 7 The effect of MVP on the proliferation of HAoSMCs**

实验方法检测, 结果显示, MVP 低表达时, 与 siRNA-N+15%FBS 相比, HAoSMCs 增殖能力降低 (图 7)。

### 3 讨论

VSMCs 来自胚胎发育时期的中胚层, 它与骨骼肌细胞、心肌细胞不同, 并不是终末分化细胞, 在某些因素的刺激下可以发生表型转化<sup>[8]</sup>。正常的动脉血管壁中的 VSMCs 以收缩型为主, 主要功能是维持血管壁弹性和收缩血管。当血管发生损伤时, 血小板黏附, 炎症细胞募集浸润于损伤处, 释放大量的生长因子(如 PDGF)以及细胞因子, 从而促进 VSMCs 增殖迁移, 从中膜层迁移至内膜层。同时由原来的收缩型转化为分泌型, 并产生大量的细胞外基质, 从而导致血管中膜层增厚, 新生内膜形成, 进而促成管腔狭窄, 甚至阻塞血管<sup>[9]</sup>。已被公认为是动脉粥样硬化、

肺动脉高压以及血管成形术后再狭窄等病变的病理基础。但其中具体调节机制尚未得到完全阐明。

目前为止, VSMCs 增殖相关的信号转导途径并未完全明确, 研究最多的是 MAPK 通路<sup>[10]</sup>和 PI3K/AKT 通路<sup>[11]</sup>。MAPK 通路是细胞外信号引起细胞核反应

的共同通路,参与多种细胞功能的调控,尤其在细胞增殖、分化与凋亡中起着关键作用。MAPK 通路异常与血管增生性疾病密切相关<sup>[12]</sup>,Park 等<sup>[13]</sup>则发现下调 PI3K/AKT 通路可以抑制 PDGF-BB 诱导的 VSMCs 增殖。

Kolli 等<sup>[14]</sup>研究表明,MVP 作为酪氨酸磷酸酶 SHP-2 的底物,参与 EGFR 依赖的 MAPK 通路的激活。另一方面,活化的 ERKs 也可与 MVP 结合,说明在 MAPK 通路中,MVP 可能有更广泛的作用。矛盾的是,有报道纯化的 MVP 可以抑制 Src 磷酸激酶的活性,并且在 Src 过表达细胞中,MVP 过表达会削弱 ERK 活性<sup>[15]</sup>。这就提示,在不同的 SH2 结合区域和 MVP 结合蛋白之间存在一种平衡,这种平衡可以决定促进还是抑制 MAPK 通路的激活。

本研究通过 PDGF-BB 或 15% FBS 诱导建立 VSMCs 增殖模型,观察了 MVP 在 VSMCs 增殖时表达水平的改变情况。又通过与 MVP 敲除或低表达的 VSMCs 增殖能力的比较,进一步验证了 MVP 在 VSMCs 增殖时所起的重要作用。表明 MVP 在 PDGF-BB 或 15% FBS 诱导的 VSMCs 增殖和向去分化方向转化的信号转导途径中确实扮演重要角色。在血管性疾病中,除了 VSMCs 异常增殖之外,VSMCs 的迁移和表型转化在其中也发挥关键作用。所以将进一步探索 MVP 在 VSMCs 多种功能中的作用及其分子机制,并在动物模型上加以验证,为今后在血管增生性疾病的靶向基因治疗研究提供新的思路 and 理论依据。

#### [参考文献]

- [1] Owens GK,Kumar MS,Wamhoff BR. Molecular regulation of vascular smooth muscle cell differentiation in development and disease[J]. *Physiol Rev*,2004,84(6):767-780
- [2] Scheffer GL,Wijngaard PL,Flens MJ,et al. The drug resistance related protein LRP is the human major vault protein[J]. *Nat Med*,1995,1(6):578-582
- [3] Berger W,Steiner E,Grusch M,et al. Vaults and the major vault protein: novel roles in signal pathway regulation and immunity[J]. *Cell Mol Life Sci*,2009,66(1):43-61
- [4] Yu Z,Fotouhi-Ardakani N,Wu L,et al. PTEN associates with the vault particles in HeLa cells[J]. *J Biol Chem*,

- 2002,277(43):40247-40252
- [5] Chung JH,Eng C. Nuclear-cytoplasmic partitioning of phosphatase and tensin homologue deleted on chromosome 10(PTEN)differentially regulates the cell cycle and apoptosis[J]. *Cancer Res*,2005,65(18):8096-8100
- [6] Daniela Lötsch,Elisabeth Steiner,Klaus Holzmann,et al. Major vault protein supports glioblastoma survival and migration by upregulating the EGFR/PI3K signalling axis [J]. *Oncotarget*,2013,4(11):1904-1918
- [7] Das D,Wang YH,Hsieh CY,et al. Major vault protein regulates cell growth/survival signaling through oxidative modifications[J]. *Cell Signal*,2016,28(1):12-18
- [8] Davis-Dusenbery BN,Wu C,Hata A. Micromanaging vascular smooth muscle cell differentiation and phenotypic modulation [J]. *Arterioscler Thromb Vasc Biol*,2011,31(11):2370-2377
- [9] O'Brien ER,Ma X,Simard T,et al. Pathogenesis of neointima formation following vascular injury [J]. *Cardiovasc Hematol Disord Drug Targets*,2011,11(1):30-39
- [10] Zhan Y,Kim S,Izumi Y,et al. Role of JNK,p38,and ERK in platelet-derived growth factor-induced vascular proliferation,migration,and gene expression [J]. *Arterioscler Thromb Vasc Biol*,2003,23(5):795-801
- [11] Hanada M,Feng J,Hemmings BA. Structure,regulation and function of PKB/AKT-a major therapeutic target[J]. *Biochim Biophys Acta*,2004,1697(1-2):3-16
- [12] Fumie Kureha,Seimi Satomi-Kobayashi,Yoshiki Kubo,et al. Nectin-like molecule-5 regulates intimal thickening after carotid artery ligation in mice[J]. *Arterioscler Thromb Vasc Biol*,2013,33(6):1206-1211
- [13] Park ES,Kang SI,Yoo KD et al. Camptothecin inhibits platelet-derived growth factor-BB-induced proliferation of rat aortic vascular smooth muscle cells through inhibition of PI3K/Akt signaling pathway[J]. *Exp Cell Res*,2013,319(7):982-991
- [14] Kolli S,Zito C,Mossink MH et al. The major vault protein is a novel substrate for the tyrosine phosphatase SHP-2 and scaffold protein in epidermal growth factor signaling[J]. *J Biol Chem*,2004,279(28):29374-29385
- [15] Kim E,Lee S,Mian MF et al. Crosstalk between Src and major vault protein in epidermal growth factor-dependent cell signaling[J]. *FEBS J*,2006,273(4):793-804

[收稿日期] 2016-03-17